

Starkniederschlagshöhen und -spenden gemäß KOSTRA-DWD-2020

Rasterfeld 205142

(Zeile 205, Spalte 142)

Regenspende und Bemessungsniederschlagswerte in Abhängigkeit von Wiederkehrzeit T und Dauerstufe D

| Dauerstufe D | | Wiederkehrzeit T | | | | | | | | | | | | | | | | | |
|--------------|-----|------------------|------------|------|------------|------|------------|-------|------------|-------|------------|-------|------------|-------|------------|-------|------------|-------|------------|
| | | 1 a | | 2 a | | 3 a | | 5 a | | 10 a | | 20 a | | 30 a | | 50 a | | 100 a | |
| min | Std | mm | l / (s ha) | mm | l / (s ha) | mm | l / (s ha) | mm | l / (s ha) | mm | l / (s ha) | mm | l / (s ha) | mm | l / (s ha) | mm | l / (s ha) | mm | l / (s ha) |
| 5 | | 8,0 | 266,7 | 9,5 | 316,7 | 10,5 | 350,0 | 11,8 | 393,3 | 13,6 | 453,3 | 15,5 | 516,7 | 16,7 | 556,7 | 18,4 | 613,3 | 20,7 | 690,0 |
| 10 | | 10,5 | 175,0 | 12,5 | 208,3 | 13,8 | 230,0 | 15,5 | 258,3 | 17,9 | 298,3 | 20,3 | 338,3 | 22,0 | 366,7 | 24,1 | 401,7 | 27,1 | 451,7 |
| 15 | | 12,0 | 133,3 | 14,4 | 160,0 | 15,9 | 176,7 | 17,8 | 197,8 | 20,5 | 227,8 | 23,4 | 260,0 | 25,3 | 281,1 | 27,7 | 307,8 | 31,2 | 346,7 |
| 20 | | 13,2 | 110,0 | 15,8 | 131,7 | 17,4 | 145,0 | 19,5 | 162,5 | 22,6 | 188,3 | 25,7 | 214,2 | 27,7 | 230,8 | 30,4 | 253,3 | 34,3 | 285,8 |
| 30 | | 15,0 | 83,3 | 17,9 | 99,4 | 19,8 | 110,0 | 22,1 | 122,8 | 25,6 | 142,2 | 29,1 | 161,7 | 31,5 | 175,0 | 34,5 | 191,7 | 38,9 | 216,1 |
| 45 | | 16,9 | 62,6 | 20,2 | 74,8 | 22,3 | 82,6 | 25,0 | 92,6 | 28,9 | 107,0 | 32,9 | 121,9 | 35,5 | 131,5 | 38,9 | 144,1 | 43,9 | 162,6 |
| 60 | 1 | 18,4 | 51,1 | 22,0 | 61,1 | 24,2 | 67,2 | 27,2 | 75,6 | 31,4 | 87,2 | 35,7 | 99,2 | 38,6 | 107,2 | 42,3 | 117,5 | 47,7 | 132,5 |
| 90 | 1,5 | 20,7 | 38,3 | 24,7 | 45,7 | 27,2 | 50,4 | 30,5 | 56,5 | 35,2 | 65,2 | 40,1 | 74,3 | 43,3 | 80,2 | 47,5 | 88,0 | 53,5 | 99,1 |
| 120 | 2 | 22,4 | 31,1 | 26,8 | 37,2 | 29,5 | 41,0 | 33,1 | 46,0 | 38,2 | 53,1 | 43,5 | 60,4 | 47,0 | 65,3 | 51,5 | 71,5 | 58,0 | 80,6 |
| 180 | 3 | 25,1 | 23,2 | 30,0 | 27,8 | 33,0 | 30,6 | 37,0 | 34,3 | 42,8 | 39,6 | 48,7 | 45,1 | 52,6 | 48,7 | 57,7 | 53,4 | 65,0 | 60,2 |
| 240 | 4 | 27,1 | 18,8 | 32,5 | 22,6 | 35,7 | 24,8 | 40,1 | 27,8 | 46,3 | 32,2 | 52,7 | 36,6 | 56,9 | 39,5 | 62,4 | 43,3 | 70,3 | 48,8 |
| 360 | 6 | 30,3 | 14,0 | 36,3 | 16,8 | 40,0 | 18,5 | 44,8 | 20,7 | 51,8 | 24,0 | 58,9 | 27,3 | 63,6 | 29,4 | 69,8 | 32,3 | 78,6 | 36,4 |
| 540 | 9 | 33,9 | 10,5 | 40,5 | 12,5 | 44,6 | 13,8 | 50,0 | 15,4 | 57,8 | 17,8 | 65,9 | 20,3 | 71,1 | 21,9 | 78,0 | 24,1 | 87,9 | 27,1 |
| 720 | 12 | 36,7 | 8,5 | 43,8 | 10,1 | 48,3 | 11,2 | 54,1 | 12,5 | 62,6 | 14,5 | 71,2 | 16,5 | 76,9 | 17,8 | 84,4 | 19,5 | 95,0 | 22,0 |
| 1080 | 18 | 41,0 | 6,3 | 49,0 | 7,6 | 53,9 | 8,3 | 60,5 | 9,3 | 69,9 | 10,8 | 79,6 | 12,3 | 85,9 | 13,3 | 94,2 | 14,5 | 106,1 | 16,4 |
| 1440 | 24 | 44,3 | 5,1 | 53,0 | 6,1 | 58,3 | 6,7 | 65,4 | 7,6 | 75,6 | 8,8 | 86,0 | 10,0 | 92,9 | 10,8 | 101,9 | 11,8 | 114,8 | 13,3 |
| 2880 | 48 | 53,5 | 3,1 | 63,9 | 3,7 | 70,4 | 4,1 | 79,0 | 4,6 | 91,2 | 5,3 | 103,9 | 6,0 | 112,2 | 6,5 | 123,0 | 7,1 | 138,6 | 8,0 |
| 4320 | 72 | 59,7 | 2,3 | 71,4 | 2,8 | 78,6 | 3,0 | 88,2 | 3,4 | 101,9 | 3,9 | 116,0 | 4,5 | 125,2 | 4,8 | 137,4 | 5,3 | 154,7 | 6,0 |
| 5760 | 96 | 64,6 | 1,9 | 77,2 | 2,2 | 85,0 | 2,5 | 95,3 | 2,8 | 110,1 | 3,2 | 125,4 | 3,6 | 135,4 | 3,9 | 148,5 | 4,3 | 167,3 | 4,8 |
| 7200 | 120 | 68,6 | 1,6 | 82,0 | 1,9 | 90,3 | 2,1 | 101,3 | 2,3 | 117,0 | 2,7 | 133,2 | 3,1 | 143,9 | 3,3 | 157,8 | 3,7 | 177,8 | 4,1 |
| 8640 | 144 | 72,1 | 1,4 | 86,2 | 1,7 | 94,9 | 1,8 | 106,4 | 2,1 | 123,0 | 2,4 | 140,0 | 2,7 | 151,2 | 2,9 | 165,8 | 3,2 | 186,8 | 3,6 |
| 10080 | 168 | 75,1 | 1,2 | 89,9 | 1,5 | 99,0 | 1,6 | 111,0 | 1,8 | 128,2 | 2,1 | 146,0 | 2,4 | 157,6 | 2,6 | 172,9 | 2,9 | 194,8 | 3,2 |

Starkniederschlagshöhen und -spenden gemäß KOSTRA-DWD-2020

Rasterfeld 205142

(Zeile 205, Spalte 142)

Örtliche Unsicherheiten in Abhängigkeit von Wiederkehrzeit T und Dauerstufe D

| Dauerstufe D | | Wiederkehrzeit T | | | | | | | | |
|--------------|-----|------------------|-----|-----|-----|------|------|------|------|-------|
| | | 1 a | 2 a | 3 a | 5 a | 10 a | 20 a | 30 a | 50 a | 100 a |
| min | Std | ± % | ± % | ± % | ± % | ± % | ± % | ± % | ± % | ± % |
| 5 | | 16 | 17 | 17 | 18 | 19 | 19 | 19 | 20 | 20 |
| 10 | | 20 | 21 | 22 | 22 | 23 | 24 | 24 | 24 | 25 |
| 15 | | 22 | 23 | 24 | 24 | 25 | 26 | 26 | 26 | 27 |
| 20 | | 23 | 24 | 25 | 25 | 26 | 26 | 27 | 27 | 27 |
| 30 | | 23 | 25 | 25 | 26 | 26 | 27 | 27 | 28 | 28 |
| 45 | | 23 | 24 | 25 | 26 | 26 | 27 | 27 | 28 | 28 |
| 60 | 1 | 23 | 24 | 25 | 25 | 26 | 26 | 27 | 27 | 28 |
| 90 | 1,5 | 22 | 23 | 24 | 24 | 25 | 26 | 26 | 26 | 27 |
| 120 | 2 | 21 | 22 | 23 | 23 | 24 | 25 | 25 | 25 | 26 |
| 180 | 3 | 20 | 21 | 22 | 22 | 23 | 23 | 24 | 24 | 24 |
| 240 | 4 | 19 | 20 | 21 | 21 | 22 | 22 | 23 | 23 | 23 |
| 360 | 6 | 18 | 19 | 20 | 20 | 21 | 21 | 21 | 22 | 22 |
| 540 | 9 | 18 | 18 | 19 | 19 | 20 | 20 | 20 | 21 | 21 |
| 720 | 12 | 17 | 18 | 18 | 19 | 19 | 19 | 20 | 20 | 20 |
| 1080 | 18 | 17 | 18 | 18 | 18 | 18 | 19 | 19 | 19 | 20 |
| 1440 | 24 | 17 | 18 | 18 | 18 | 18 | 19 | 19 | 19 | 19 |
| 2880 | 48 | 19 | 18 | 18 | 18 | 19 | 19 | 19 | 19 | 19 |
| 4320 | 72 | 20 | 20 | 19 | 19 | 19 | 19 | 19 | 20 | 20 |
| 5760 | 96 | 21 | 21 | 20 | 20 | 20 | 20 | 20 | 20 | 20 |
| 7200 | 120 | 22 | 21 | 21 | 21 | 21 | 21 | 21 | 21 | 21 |
| 8640 | 144 | 23 | 22 | 22 | 22 | 22 | 22 | 22 | 21 | 21 |
| 10080 | 168 | 24 | 23 | 23 | 22 | 22 | 22 | 22 | 22 | 22 |

Parameter für abweichende T und D

Lokationsparameter ξ (Xi)

18,7158069

Skalenparameter α (Alpha)

5,09584783

Formparameter κ (Kappa)

-0,1

1. Koutsoyiannis-Parameter θ (Theta)

0,02301834

2. Koutsoyiannis-Parameter η (Eta)

0,72857301

Parameter für dauerstufenübergreifende Extremwertschätzung nach KOUTSOYIANNIS et al. 1998.

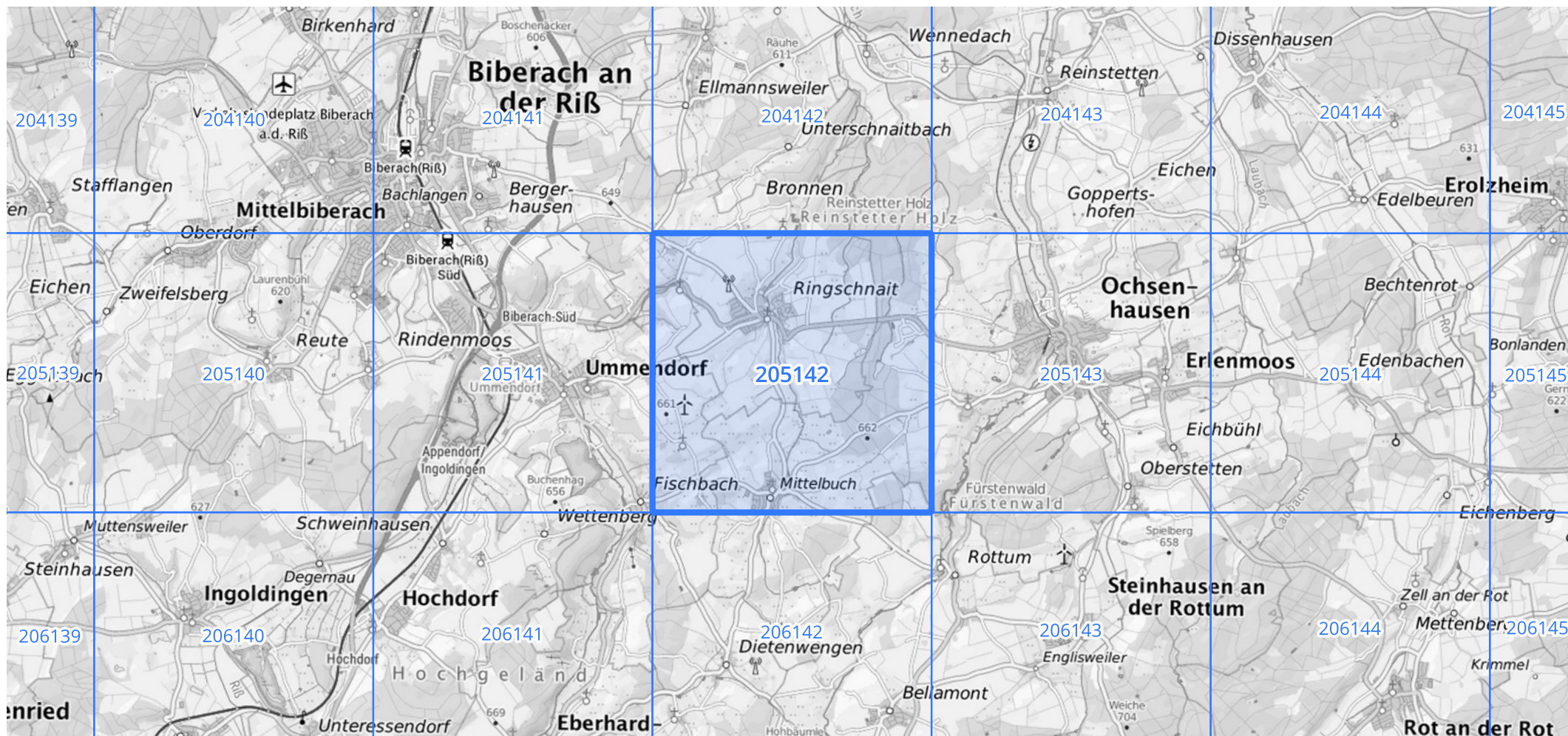
Siehe auch Anwendungshilfe zu KOSTRA-DWD-2020 des Deutschen Wetterdienstes.

Starkniederschlagshöhen und -spenden gemäß KOSTRA-DWD-2020

Rasterfeld 205142

(Zeile 205, Spalte 142)

Übersichtskarte des Rasterfeldes 205142, M 1 : 100 000



Quelle Rasterdaten: KOSTRA-DWD-2020 des Deutschen Wetterdienstes, Stand 12/2022.

Seite 3 von 3

Kartendarstellung: © Bundesamt für Kartographie und Geodäsie (2023), Datenquellen: https://sgx.geodatenzentrum.de/web_public/gdz/datenquellen/Datenquellen_TopPlusOpen.html

Für die Richtigkeit und Aktualität der Angaben wird keine Gewähr übernommen. Erstellt 01/2023.